

# Une remarque à propos de l'équivalence bilipschitzienne entre des ensembles de Delone

## A remark concerning bi-Lipschitz equivalence of Delone sets

Andrés Navas

**Résumé.** Nous démontrons que tout ensemble de Delone linéairement répétitif est rectifiable par un homéomorphisme bilipschitzien de l'espace qui l'envoie sur l'ensemble des points à coordonnées entières.

**Abstract.** Linearly repetitive Delone sets are shown to be rectifiable by a bi-Lipschitz homeomorphism of the Euclidean space sending it to the standard lattice.

### Version anglaise abrégée

Over the last years, the study of *Delone sets* (that is, uniformly separated, uniformly discrete subsets of  $\mathbb{R}^d$ ) has attracted the attention of many people, both because of their intrinsic geometric interest and their relation with mathematical models of quasi-crystals. One of the most basic questions concerns rectifiability, that is, bi-Lipschitz equivalence of such a set  $\mathcal{D} \subset \mathbb{R}^d$  with the standard lattice, which means the existence of a bi-Lipschitz map  $f : \mathcal{D} \rightarrow \mathbb{Z}^d$ . Examples of non-rectifiable Delone sets (for  $d \geq 2$ ) were independently shown to exist by Burago and Kleiner [4] and Mc Mullen [8] (more concrete examples appear in [6]). *A priori*, the existence of a bi-Lipschitz homeomorphism  $F : \mathbb{R}^d \rightarrow \mathbb{R}^d$  extending  $f$  above is a stronger condition. This problem was raised (in much more generality) in [1], where it is shown that such an  $F$  exists (with good control on the bi-Lipschitz constant) whenever the bi-Lipschitz constant of  $f$  is very close to 1. However, the general case remains open.

In this Note, we provide a quite short and elementary argument showing the existence of such an  $F$  for particular choices of  $f$  that are known to exist for a relevant class of rectifiable Delone sets (which includes, for instance, the set of vertices of Penrose tilings). Recall that a Delone set  $\mathcal{D}$  is said to be *repetitive* if for each  $r > 0$  there exists  $R = R(r) > 0$  such that for every pair of balls  $B_r, B_R$  of radii  $r$  and  $R$ , respectively, the intersection  $B_R \cap \mathcal{D}$  contains a translated copy of  $B_r \cap \mathcal{D}$ . The set  $\mathcal{D}$  is said to be *linearly repetitive* if  $R$  can be taken to be linear as a function of  $r$ . Examples of linearly repetitive Delone sets include the set of vertices of substitution tilings and certain cut-and-project Delone sets; see [2].

**Main Theorem.** If  $\mathcal{D}$  is a linearly repetitive Delone set in  $\mathbb{R}^d$ , then there exists a bi-Lipschitz homeomorphism  $F : \mathbb{R}^d \rightarrow \mathbb{R}^d$  such that  $F(\mathcal{D}) = \mathbb{Z}^d$ .

This is an easy exercise for  $d = 1$ . For  $d \geq 2$ , the proof follows as a concatenation of results and remarks that are already known plus an elementary lemma, as next explained. First, Lagarias and Pleasants prove in [7] several ergodic type estimates for linearly repetitive Delone sets that imply in particular that Burago-Kleiner's condition from [5] holds, as shown along the proof of Theorem 2.1 in [3] (see also [9] for the case of Penrose tilings). Thus, by a theorem first proved in [5] for  $d = 2$ , and later extended to  $d > 2$  in [3], such a Delone set is rectifiable. However, a careful reading of the proof in Section 4 of [5] shows that a stronger statement holds: if  $\mathcal{D}$  satisfies the Burago-Kleiner condition, then there exists a bi-Lipschitz homeomorphism  $H$  of  $\mathbb{R}^d$  such that

$H(\mathcal{D})$  is a boundedly displaced image of  $\mathbb{Z}^d$ . More precisely, there is a bijection  $\Phi : H(\mathcal{D}) \rightarrow \mathbb{Z}^d$  such that  $|\Phi(H(v)) - H(v)|$  is uniformly bounded on  $v \in \mathcal{D}$ . Knowing this, the Main Theorem follows from the next lemma applied to  $\mathcal{D}' := \Phi(\mathcal{D})$ .

**Lemma.** If  $\mathcal{D}'$  is a Delone set in  $\mathbb{R}^d$  that is a boundedly displaced image of  $\mathbb{Z}^d$ , then there exists a bi-Lipschitz homeomorphism  $F : \mathbb{R}^d \rightarrow \mathbb{R}^d$  for which  $F(\mathcal{D}') = \mathbb{Z}^d$ .

## Version française

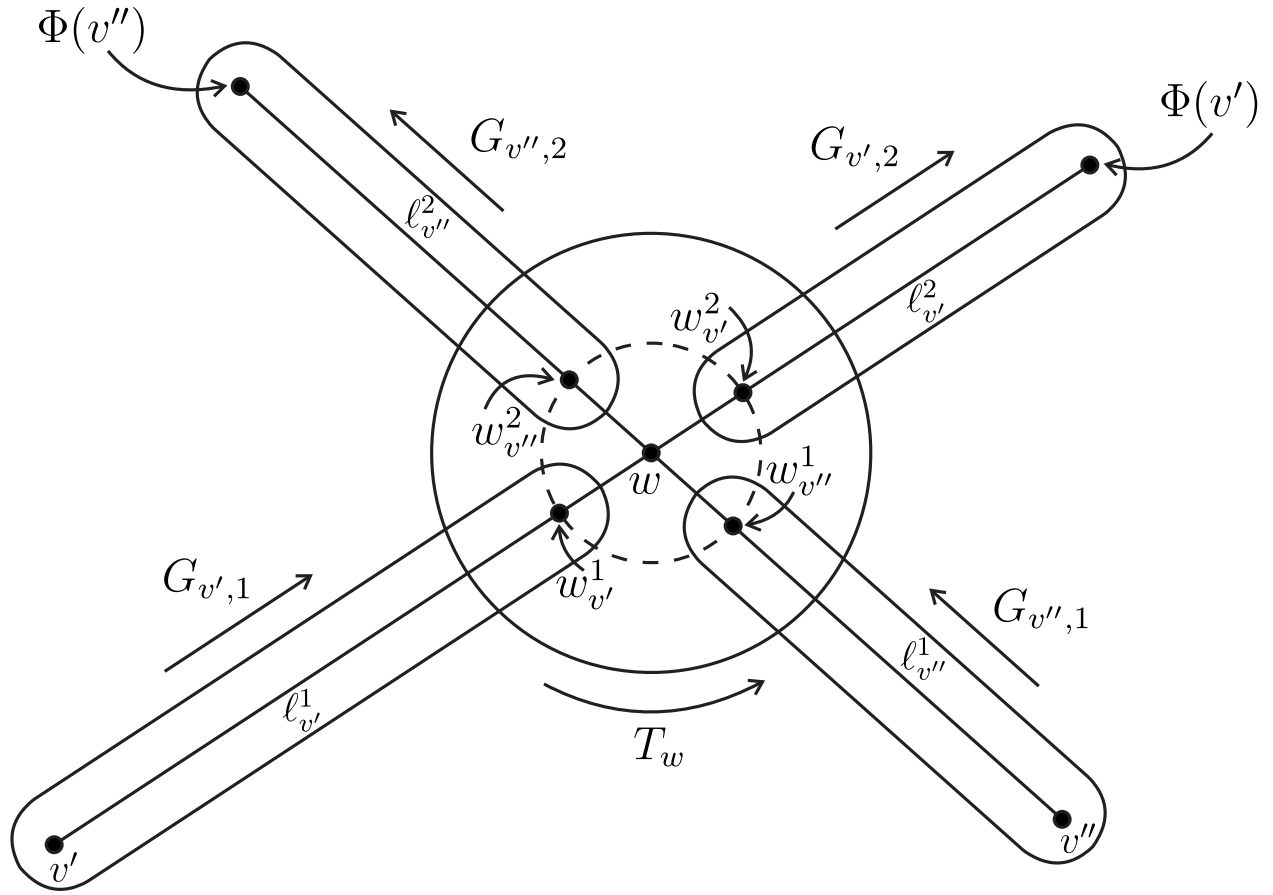
Au cours des dernières années, l'étude des *ensembles de Delone* (c'est-à-dire, des ensembles uniformément séparés et uniformément discrets de  $\mathbb{R}^d$ ) a attiré beaucoup d'attention en raison de leur intérêt géométrique intrinsèque ainsi que leur relation avec des modèles mathématiques des quasicristaux. L'une des questions basiques concerne la rectifiabilité, c'est-à-dire, l'équivalence d'un tel ensemble  $\mathcal{D} \subset \mathbb{R}^d$  avec le réseau standard par une application bilipschitzienne  $f : \mathcal{D} \rightarrow \mathbb{Z}^d$ . L'existence d'ensembles de Delone non-rectifiables (pour  $d \geq 2$ ) a été indépendamment montrée par Burago et Kleiner [4] et Mc Mullen [8] (des exemples plus concrets apparaissent dans [6]). *A priori*, l'existence d'un homéomorphisme bilipschitzien  $F : \mathbb{R}^d \rightarrow \mathbb{R}^d$  qui étend  $f$  ci-dessus est une condition plus forte. Ce problème a été soulevé (de façon beaucoup plus générale) dans [1], où il est montré qu'un tel  $F$  existe (avec un bon contrôle de la constante bilipschitzienne) lorsque la constante bilipschitzienne de  $f$  est très proche de 1. Cependant, le cas général reste ouvert.

Dans cette Note, nous donnons un argument court et élémentaire montrant l'existence d'un tel  $F$  pour des choix particuliers de  $f$  dont on connaît déjà l'existence pour une classe importante d'ensembles de Delone rectifiables (qui comprend, par exemple, l'ensemble des sommets des pavages de Penrose). Rappelons qu'un ensemble de Delone  $\mathcal{D}$  est dit *répétitif* si pour tout  $r > 0$ , il existe  $R = R(r) > 0$  tel que pour chaque paire de boules  $B_r$  et  $B_R$  de rayons  $r$  et  $R$  respectivement, l'intersection  $B_R \cap \mathcal{D}$  contient une copie translatée de  $B_r \cap \mathcal{D}$ . L'ensemble  $\mathcal{D}$  est dit *linéairement répétitif* si  $R$  peut être pris comme une fonction linéaire de  $r$ . Des exemples d'ensembles de Delone linéairement répétitifs sont l'ensemble des sommets des pavages de substitution et certains ensembles obtenus par coupure et projection; voir [2].

**Théorème Principal.** Si  $\mathcal{D}$  est un ensemble Delone linéairement répétitif dans  $\mathbb{R}^d$ , alors il existe un homéomorphisme bilipschitzien  $F : \mathbb{R}^d \rightarrow \mathbb{R}^d$  tel que  $F(\mathcal{D}) = \mathbb{Z}^d$ .

Ceci est un exercice facile pour  $d = 1$ . Pour  $d \geq 2$ , la preuve résulte d'une concaténation de résultats et de remarques déjà connus plus un lemme élémentaire, comme nous l'expliquons à continuation. Tout d'abord, Lagarias et Pleasants montrent dans [7] plusieurs estimées de type ergodique pour les ensembles de Delone linéairement répétitifs qui impliquent en particulier que la condition de Burago et Kleiner de [5] est satisfaite, comme le montre la preuve du Théorème 2.1 dans [3] (voir aussi [9] pour le cas des pavages de Penrose). Par conséquent, d'après un théorème d'abord démontré pour  $d = 2$  dans [5], et puis étendu pour  $d > 2$  dans [3], un tel ensemble de Delone est rectifiable. Toutefois, une lecture attentive de la preuve de la Section 4 de [5] montre qu'une conclusion plus forte est valable : si  $\mathcal{D}$  satisfait la condition de Burago et Kleiner, alors il existe un homéomorphisme bilipschitzien  $H$  de  $\mathbb{R}^d$  tel que  $H(\mathcal{D})$  est une image à déplacement borné de  $\mathbb{Z}^d$ . Plus précisément, il existe une bijection  $\Phi : H(\mathcal{D}) \rightarrow \mathbb{Z}^d$  telle que  $|\Phi(H(v)) - H(v)|$  est uniformément borné sur  $v \in \mathcal{D}$ . Sachant cela, le Théorème Principal découle du lemme suivant appliqué à  $\mathcal{D}' := \Phi(\mathcal{D})$ .

**Lemme.** Si  $\mathcal{D}'$  est un ensemble Delone dans  $\mathbb{R}^d$  qui est une image à déplacement borné de  $\mathbb{Z}^d$ , alors il existe un homéomorphisme bilipschitzien  $F : \mathbb{R}^d \rightarrow \mathbb{R}^d$  pour lequel  $F(\mathcal{D}') = \mathbb{Z}^d$ .



**Preuve.** L'argument pour le cas  $d \geq 3$  est très simple. En effet, pour chaque  $\rho > 0$ , le nombre de points de  $\mathcal{D}'$  contenus dans toute boule de rayon  $\rho$  est borné par une constante qui dépend de  $\rho$ . Par conséquent, si l'on bouge les points de  $\mathcal{D}'$  à une distance uniformément bornée (et très petite) par un homéomorphisme bilipschitzien, on peut supposer qu'il existe  $\varepsilon > 0$  de telle sorte que les segments  $\ell_{v'}$  qui joignent les points  $v'$  et  $\Phi(v')$ , avec  $v' \in \mathcal{D}'$ , sont séparés à distance  $\geq \varepsilon$ . On peut donc considérer une famille d'homéomorphismes bilipschitziens  $G_{v'}$  chacun supporté sur le  $\varepsilon/2$ -voisinage  $N_{\varepsilon/2}(\ell_{v'})$  de  $\ell_{v'}$  et tel que  $G_{v'}(v') = \Phi(v')$ . Puisque les longueurs des  $\ell_{v'}$  sont uniformément bornées, la constante bilipschitzienne de  $G_{v'}$  peut être aussi prise uniformément bornée. Par conséquent, si l'on définit  $F : \mathbb{R}^d \rightarrow \mathbb{R}^d$  en faisant  $F(u) := G_{v'}(u)$  pour  $u \in N_{\varepsilon/2}(\ell_{v'})$  et  $F(u) := u$  pour  $u$  en dehors de la réunion des  $N_{\varepsilon/2}(\ell_{v'})$ , nous obtenons l'homéomorphisme désiré.

Pour le cas  $d = 2$ , nous ne pouvons certainement pas éviter les intersections des segments  $\ell_{v'}$ . Cependant, en faisant bouger les points de  $\mathcal{D}'$  à une distance uniformément bornée (et très petite) par un homéomorphisme bilipschitzien, on peut supposer que les points d'intersection sont à distance  $\geq \varepsilon$  pour un certain  $\varepsilon > 0$ . De plus, on peut supposer qu'ils sont à distance  $\geq \varepsilon$  de tous les points  $v'$  et  $\Phi(v')$ , et que les angles d'intersection sont aussi  $\geq \varepsilon$ . En supposant tout ceci, pour chaque point d'intersection  $w$ , notons  $B(w)$  le disque de centre  $w$  et rayon  $\varepsilon/3$ . Cela donne une famille de disques disjoints, chacun desquels est le support d'un homéomorphisme bilipschitzien  $T_w$  (qui jouit d'un contrôle uniforme de la constante bilipschitzienne) qui correspond à un demi-twist de Dehn, de telle sorte que sa restriction au cercle de centre  $w$  et rayon  $\varepsilon/6$  coïncide avec la rotation d'angle  $\pi$ . Notons  $w_v^1$ , et  $w_v^2$ , les points d'intersection de ce cercle et le segment  $\ell_{v'}$ , avec  $w_v^1$ , entre  $v'$  et  $w_v^2$ . Remarquons que  $T_w(w_v^1) = w_v^2$ . Soit  $\ell_{v'}^i$ , le segment de  $\ell_{v'}$  entre deux points consécutifs de la forme  $w_v^2$ , et  $w_v^1$ , (le

premier commençant sur  $v'$  et le dernier finissant sur  $\Phi(v')$ ). Soit  $\varepsilon' > 0$  une constante (qui ne dépend que de  $\varepsilon$ ) telle que les  $\varepsilon'$ -voisinages  $N_{\varepsilon'}(\ell_{v'}^i)$  des segments  $\ell_{v'}^i$  sont disjoints (pour tout  $i$  et tout  $v'$ ). De nouveau, chaque  $N_{\varepsilon'}(\ell_{v'}^i)$  est le support d'un homéomorphisme bilipschitzien  $G_{v',i}$  qui envoie le point initial de  $\ell_{v'}^i$  sur le point final. De plus, la constante bilipschitzienne de  $G_{v',i}$  peut être prise uniformément bornée. L'homéomorphisme désiré  $F$  s'obtient alors en concaténant, dans l'ordre correct, toutes ses applications  $G_{v',i}$  et  $T_w$  provenant des points d'intersection  $w$  le long de  $\ell_{v'}$ . Puisque le nombre de points d'intersection est uniformément borné, cette application  $F$  est un homéomorphisme bilipschitzien.

**Remarque.** Bien sûr, des calculs explicites suivant les arguments ci-dessus (en utilisant les estimées déjà connues pour l'application  $H$ ) fourniraient une borne supérieure pour la constante bilipschitzienne de l'homéomorphisme  $F$  du Théorème Principal en termes de la dimension  $d \geq 2$  et de la géométrie de  $\mathcal{D}$  (plus précisément, des constantes de séparation des points et de densité relative). Néanmoins, nous ne voyons aucune application potentielle de ceci, donc nous laissons ces calculs au soin du lecteur.

**Remerciements.** Je tiens à remercier B. Weiss pour son encouragement à rédiger cette Note, ainsi que tous les participants de la rencontre *Mathematical Quasicrystals* à Oberwolfach (octobre 2015). Ce travail a été financé par les projets de recherche ACT 1103, ACT 1415 (CONICYT) et FONDECYT 1160541.

## References

- [1] ALESTALO, P.; TROTSSENKO, D. A.; VÄISÄLÄ, J. Linear bilipschitz extension property. *Sibirsk. Mat. Zh.* **44** (1993), no. **6**, 1226-1238. Translation into English in *Siberian Mathematical Journal* **44** (1993), no. **6**, 959-968.
- [2] ALISTE-PRIEITO, J.; CORONEL, D.; CORTEZ, M. I.; DURAND, F.; PETITE, S. Linearly repetitive Delone sets. In *Mathematics of Aperiodic Order*, edited by J. Kellendock, D. Lenz, and J. Savinien. Progress in Mathematics, vol. **309**, Birkhäuser (2015), 195-222
- [3] ALISTE-PRIEITO, J.; CORONEL, D.; GAMBAUDO, J.-M. Linearly repetitive Delone sets are rectifiable. *Ann. Inst. H. Poincaré Anal. Non Linéaire* **30** (2013), no. **2**, 275-290.
- [4] BURAGO, D.; KLEINER, B. Separated nets in Euclidean space and Jacobians of bi-Lipschitz maps. *Geom. Funct. Anal.* **8** (1998), no. **2**, 273-282.
- [5] BURAGO, D.; KLEINER, B. Rectifying separated nets. *Geom. Funct. Anal.* **12** (2002), no. **1**, 80-92.
- [6] CORTEZ, M. I.; NAVAS, A. Some examples of repetitive, non-rectifiable Delone sets. *Geom. and Topology* (to appear).
- [7] LAGARIAS, J. C.; PLEASANTS, P. A. Repetitive Delone sets and quasicrystals. *Ergod. Th. and Dyn. Sys.* **23** (2003), 831-867.
- [8] MCMULLEN, C. T. Lipschitz maps and nets in Euclidean space. *Geom. Funct. Anal.* **8** (1998), no. **2**, 304-314.
- [9] SOLOMON, Y. Substitution tilings and separated nets with similarities to the integer lattice. *Israel J. Math.* **181** (2011), 445-460.

Andrés Navas

Dpto. de Matemática y Ciencia de la Computación, Universidad de Santiago de Chile

Alameda 3363, Santiago, Chile

email: andres.navas@usach.cl